

Funktions-Funktions für Kosmische Physik



International
Seismological
Centre


Seismische Aufzeichnungen.

$\varphi = 47^{\circ}15.7' N.$ $\lambda = 11^{\circ}23.8' E$ v. Gr. Meereshöhe = 575 m Untergrund: *Funktions-Schalter.*

Instrumente: *Mairka-Horizontalkpendel, 2 Komponenten à 135 kg.*

	V	T ₀	$\epsilon:1$	$\frac{r}{T_0^2}$
A _N : E	108	10.2	4.7	0.01
A _E : SE	37	11.2	6.8	0.02
A _Z :				

Datum	Phase	Zeit M. Z. Greenw.			Periode s	Amplitude			Δ km	Bemerkungen
		h	m	s		A _N E μ	A _E SE μ	A _Z μ		
Jan. 13. 1)	iP	0	14	52				8400	Nachzeitgen: Herd im Glinde, zerstörernd in San-Sin-	
	iS		24	32						
	i _{NE}		25	37						
	i _{NE}		30	37.1 (Min.-Lücke)						
	L?		34	36						
	M _{SE}		42.1		32	8	990			
	M _{SE}		45.9		27		667			
	M _{NE}		46.4		30	337				
	M _{SE}		50.9		16		357			
	M _{NE}		56.1		15	132				
	M _{SE}		56.8		13		162			
M _{NE}		59.4		13	102					
M _{SE}	1	37		16		188				
F ~ 2										
SE-Komponente außer Betrieb!										
Jan. 17. 2)	eCP) _{NE}	0	09					1200		
	S _{NE}		11	06						
	M _{NE}		12	09						
Jan. 17. 3)	P _{NE}	11	57	13						
	L _{NE}	12	15							
									Weniger!	

Datum	Phase	Zeit M. Z. Greenw.			Periode	Amplitude			△ km	Bemerkungen 
		h	m	s		A _N E	A _E SE	A _Z		
					s	μ	μ	μ		
					Eichung am 18. Jan.					
					V	T ₀	ε:1	$\frac{\pi}{T_0^2}$		
					A _{NE}	106	10.2	3.6	0.010	
					A _{SE}	Ander Betrieb!				
Jan. 21. 4)	P	10	41.9							Weitere Phasen nicht erkennbar.
Jan. 22. 5)	P? i	10	08.1 09 13							schwach.
Jan. 23. 6)	P i S? eL?	11	18.1 18 15 21 13 23.4						1850?	
Jan. 24. 7)	M	21	23.4							VW nicht auffindbar.
Febr. 1. 8)	iP iPP iPPP i iS iSS? M F ~ 18	17	22 14 23 43 24 14 24 48 28 33 31 49 33.5						41° 4560km	
Febr. 2. 9)	P PP? PPP? S PS SSS? L? F ~ 17 ₂	0	09 56±1 11 45 13 31 17 56±1 18 24 24 56±1 28 56±1	(Min.-Lücke) (Min.-Lücke) (Min.-Lücke) (Min.-Lücke)					59° 6560km	
Febr. 6. 10)	iP i i	7	01 54 02 00 02 21							
Febr. 10. 11)	eP	17	25.2							Weitere Phasen nicht erkennbar.

Frankfurt, Institut für Kosmische Physik.



Seismische Aufzeichnungen.

$\varphi = 47^{\circ} 15.7' N.$ $\lambda = 11^{\circ} 23.8' E$ v. Gr. Meereshöhe = 575 m Untergrund: *Finstal-Schotter*

Instrumente: *Mainka-Horizontalspendel, 2 Komponenten à 135 kg.*

	V	T ₀	$\epsilon:1$	$\frac{r}{T_0^3}$
A _{NE}	106	10.2	3.6	0.010
A _{SE}	Ander Betrieb!			
A _Z				

Datum	Phase	Zeit M. Z. Greenw.			Periode	Amplitude			Δ km	Bemerkungen
		h	m	s		A _{NE} μ	A _{SE} μ	A _Z μ		
Febr. 20. 12)		Spuren ab 12 ^h			23.1 ^m					
Febr. 26. 13)		Kann merkbliche Spuren ab 3 ^h			49 ^m					
Febr. 26. 14)	eP iP i eL? M	9	12.8							
Febr. 27. 15)	eP	17	21.6						Nachzeitgen: Bodenseegbiet (Bregenz, Fried- richshafen, Schweiz. Nfer.)	
Febr. 28. 16)	eP	1	45.3						Nachbeben zu 15).	
März 1. 17)	e i M i	10	33.6							
1. - 7. März Apparat außer Betrieb!										
Wenden!										



International
Seismological
Centre

Datum	Phase	Zeit M. Z. Greenw.			Periode s	Amplitude			Δ km	Bemerkungen
		h	m	s		A_N μ	A_E μ	A_Z μ		
März 10. 18)	e	22	59.2						Wort Spanten.	
April 10. 19)	eP iP \bar{P} PP L	5	44.1 44 06 44 16 44 21 44 44±1	(Min.-Lücke)				315	Nach Radio: Herd i. Oberital. (Geopint in Bologna u. Florenz).	
April 10. 20)	e i	6	49.4 49 53						Nachbeben zu 19).	
April 10. 21)	Erster Zinsatz nicht deutlich erkennbar.								Nachbeben zu 19).	
	e iL F ~	16	33 28 33 58 38							
April 11. 22)	eP i iL F ~	0	57 57 31 57 42 1 02						Nachbeben zu 19).	
April 11. 23)	eP i iL M F ~	4	40 56 41 25 41 35 42 07 47						Nachbeben zu 19).	
April 12. 24)	P iL F ~	0	32 46±1 33 30 37	(Min.-Lücke)					Nachbeben zu 19).	
April 12. 25)	P L? F ~	5	21 37 22 18 26.5						Nachbeben zu 19).	
April 13. 26)	P _n PP L F ~	21	25 13 25 29 25 53 30						Nachbeben zu 19).	
April 19. 27)	P _n P* \bar{P} L F ~	4	16 14 16 17 16 37 16 49±1 25	(Min.-Lücke)				300	Oberitalien?	



International
Seismological
Centre

Datum	Phase	Zeit M. Z. Greenw.			Periode	Amplitude			△ km	Bemerkungen
		h	m	s		A _N E	A _E SE	A _Z		
April 23. 33)	eP? i i i S? iL?	5	53.7						415?	
			54.6							
			54	48						
			54	52						
			55	02						
			55	11						
		Schwach.			Analyse unsicher.					
April 24. 34)	eP iP i i iL F ~	22	51.7						352	Oberitalien?
			51	51						
			52	14						
			52	23						
			52	28						
			56							
April 28. 35)	eP	8	37.1							
		Schwach. Einmal unidentifiziert.								
April 28. 36)	eP iTP iS iL F ~	19	40.7						400	Apennin
			40	52						
			41	20						
			41	40						
			48							
April 29. 37)	eP _n iP _x iP iL M F ~	18	36.8						300	Bologna.
			36	48						
			36	52						
			37	29						
			38.2		1.2	23				
			44							
Mai 1. 38)	iP PP PPP S? eL? M ₁ M ₂ F ~	15	44	22					3800	Nach Wien Anfo. 70) Türk.-pers. Grenz. Nach Zeitgen: Zerstörung im Achtabad n. Hermak.
			45	29						
			45	49						
			48	55 ± 1 (Min.-Lücke)						
			52.7							
			59.1							
		16	06.1		11	31				
			17 1/4							
Mai 1. 39)	eP i i iS? iL F ~	21	13.2						350	
			13	37						
			13	41						
			13	51						
			14	19						
			20							

Frischbrunn, Institut für Kosmische Physik



Seismische Aufzeichnungen.

$\varphi = 47^{\circ} 15.7' N.$ $\lambda = 11^{\circ} 23.8' E$ v. Gr. Meereshöhe = 575 m Untergrund: Frontal-Schrotter.
 Instrumente: Mainka-Horizontalspendel, 2 Komponenten à 135 kg.

	V	T_0	$\epsilon:1$	$\frac{r}{T_0^3}$
A_{NE}	106	10.2	3.6	0.010
A_{ESE}	Ander Betrieb!			
A_z				

Datum	Phase	Zeit M. Z. Greenw.			Periode	Amplitude			Δ km	Bemerkungen
		h	m	s		A_{NE} μ	A_{ESE} μ	A_z μ		
Mai 2. 40)	e	14	38.2						Nur Spuren.	
Mai 11. 41)	eP iP iP̄ iPP? L F ~	19	23.5 23 35 23 38 23 52 24 13 19 32					300	Nach Wien Aufz. 75): Herd: Bologna	
Mai 18. 42)	eP i S? L?	6	42.3 42.5 46.3 49 ±1 (Min.-Lücke)						Nach Wien Aufz. 99): Herd in Kleinasien.. Analyse unsicher.	
Mai 21. (43)	eP M	16	48 17 30.6	(Min.-Lücke). 19	Schwach. deutlich.					
Mai 26. 44)	eP iP ₂ P ePP? eS eL M ₁ M ₂ M ₃ M ₄ M ₅ F ~	22	52.1 52 38 55.2 23 01.7 11 23.8 25.8 28.3 30.2 31.6 0 1/4	(Min.-Lücke) 15-16 18-19 19 19-20 15	21 36 38 60 21			73° = 8-110 km 52°N, 130°W.	Nach Strassburg Bull. No 7: 52°N, 130°W.	

Wiederholen!

Datum	Phase	Zeit M. Z. Greenw.			Periode	Amplitude			△ km	Bemerkungen
		h	m	s		A _N μ	A _E μ	A _Z μ		
Mai 28 45)	eP iP α? α? iL F ~ 7	7	14					600		
Juni 3 46)	Spuren eines Bebens nach 20 ^h 38 ^{1/2} m.									
Juni 9 47)	eP eS M	9	20.1					80° = 8890 km	Nachstrahlung Bull. No. 8: 47.5°N, 147.5°E.	
Juni 10 48)	iP iPP iPPP eS	23	08	27				25° = 2780 km	Nachstrahlung Bull. No. 1: 71°N, 5.5°E.	
Juni 13 49)	eP i F	0	24.5						im nächsten Beben.	
Juni 13 50)	P eS eL M ₁ M ₂	0	38	05 ± 1	(Min.-Lücke)			80° = 8890 km.		
Juni 14 51)	Spuren der 1 nach 10 ^h 4 ^h .									
Juni 16 52)	eP? i S _c P _c S? PPP? eL? M ₁ M ₂ M ₃ F ~ 1 ^{3/4}	23	07.2		unsicher.			160° = 17780 km	Newseeland. Analyse unsicher. (VW schwach).	
Juni 27 53)	Direkte Vorläufer nicht erkennbar. PP PS SS eL? M	13	06	02				114° = 12670 km.	(Min.-Lücke)	

Finsternis, Institut für Kosmische Physik.



International
Seismological
Centre

Seismische Aufzeichnungen.

$\varphi = 47^{\circ} 15.7' N.Br.$ $\lambda = 11^{\circ} 23.8' E.v.Gr.$ Meereshöhe = 575 m Untergrund: Frontal-Schotter
 Instrumente: Mainka-Horizontalspendel, 2 Komponenten à 135 kg.

	V	T ₀	$\epsilon:1$	$\frac{r}{T_0^2}$
A _N : E	106	10.2	3.58	0.010
A _E : SE	Ander Betrieb!			
A _Z :				

Datum	Phase	Zeit M. Z. Greenw.			Periode	Amplitude			Δ km	Bemerkungen
		h	m	s		A _N E μ	A _E SE μ	A _Z μ		
Juli 5. 54)	eP	14	31	20				95° 10500km		
	PPP		37.6							
	$\overline{S_c P_c S}$		41.5							
	PPS		44.6							
	$\overline{P_c P_c P_c}$		47.4							
	eL?		55.9		(Min.-Lücke)					
	M ₁	15	10.2		23					
	M ₂		14.6		18½					
M ₃		17.3		17½						
F		~16½								
Juli 5. 55)	eP	22	47.8						Schwach. Weitere Phasen nicht erkennbar.	
Juli 5. 56)	eP	23	21.9						Schwach. Weitere Phasen nicht erkennbar.	
Juli 6. 57)	eP	2	16.1						Schwach. Weitere Phasen nicht erkennbar.	
Juli 6. 58)	P	9	55	53±1	(Min.-Lücke)				Schwach. Weitere Phasen nicht erkennbar.	
Juli 7. 59)	eP	21	35.4					83° 9200km		
	P _c P		35	47						
	S		45.7							
	SS		51.3							
	L		57.3							
	M	22 ^h	14½		25					

Herrmann!



Datum	Phase	Zeit M. Z. Greenw.			Periode	Amplitude			△ km	Bemerkungen
		h	m	s		A _N μ	A _E μ	A _Z μ		
Juli 13. 60)	P PP? i i i L	12	54	1				900		
Juli 14. 61)	P P _c P PP S SS SSS	9	48	53 ± 1	(Min.-Lücke)			70° = 7800 km.		
Juli 15. 62)	P PPP S PS S _c S	7	50	8				32 1/2° = 3550 km.		
Juli 17. 63)	Spuren von 8 ^h 50 1/2 ^m Gestört durch Unruhe.									
Juli 18. 64)	P P̄ iL M ₁ M ₂	21	02	52 ± 1	(Min.-Lücke)			275		
Juli 23. 65)	eP? e i PP? eL M	18	48	5				35.5° = 3950 km.		
Aug. 8. 66)	Spuren	13	08	7						
Aug. 19. 67)	i	2	55	15	Minutenangabe unsicher infolge Anstehens des Stunden- kontaktes.					
Sept. 2. 68)	iP S?	5	52	38						
				53	04 ± 1 (Min.-Lücke)					
Analyse sehr unsicher wegen schwacher Registrierung.										
Sept. 3. 69)	ca.	12 1/4	Nur Spuren.							
Sept. 15. 70)	ca.	13 1/4	Nur Spuren.							

Datum	Phase	Zeit M. Z. Greenw.			Periode	Amplitude			△ km	Bemerkungen
		h	m	s		A _{NE}	A _{SE}	A _Z		
Nov. 1. 76)	e iP i i i i F	6	59.8						Near Wien Anf. No 12: Rumänien (Bukarest).	
Nov. 15. 77)	Nur schwache Spuren der VW; im übrigen nicht answerbar wegen Ausbleibens des Stundenkontaktes.									
Nov. 17. 78)	Schwache Spuren ~ " ~									
Nov. 18. 79)	eP i PPP? iS SS eL M ₁ M ₂ M ₃ F	20	40	23 41 23 02 27 53.5 58.1 59.6 02.2 17	17 15 16	Min.-Lücke		4900	Hed. New- foundland (~46°N, 58°W).	
Dec. 9. 80)	ca. 7 ^h ; Beben fällt in die Zeit des Streifenwechsels.									
Dec. 17. 81)	eP iP eS S _e P _c S _s ? S _e P _c P _c S PS SS SSS eL M ₁ M ₂ M ₃ M ₄ M ₅ M ₆ F	11	10	36 46 28 47 11 15 41 54±1 28 42.9 46.1 50.6 52.7 55.7 57.2 14	22½ 23 13 13 14 15	234 314 45 68 77 107		8630	Min.-Lücke.	
Dec. 20. 82)	eP eL?	20	21.8	25.4						



International
Seismological
Centre